

Fig. 1 H. Taguchi et al.

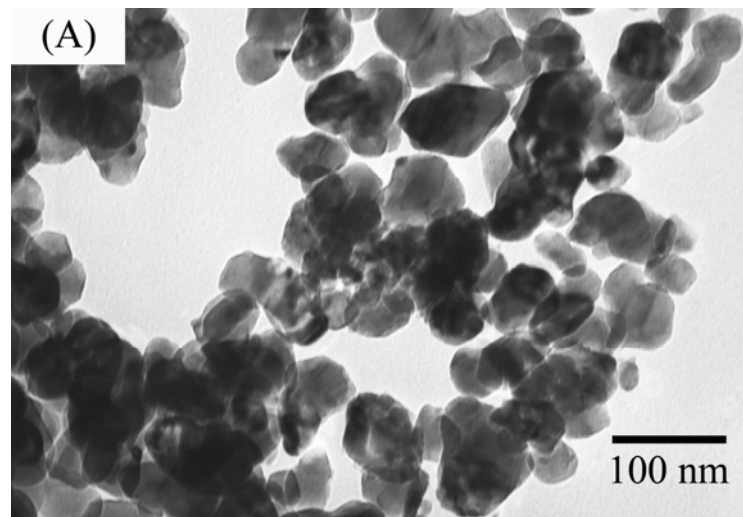


Fig. 2 (A) H. Taguchi et al.

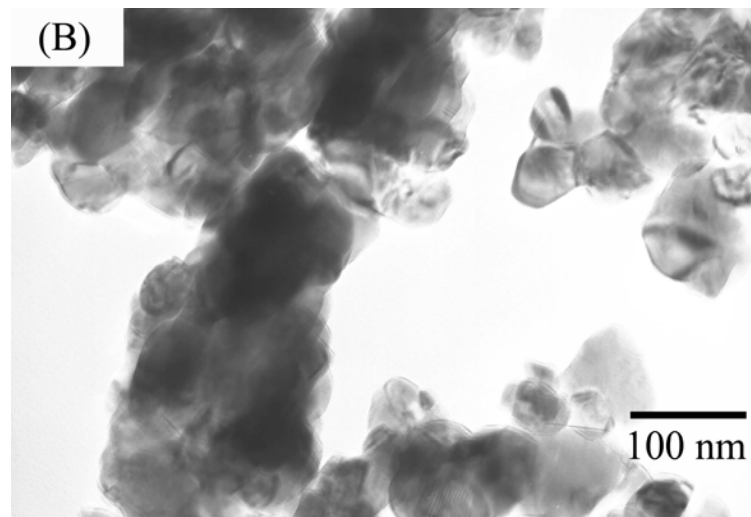


Fig. 2 (B) H. Taguchi et al.

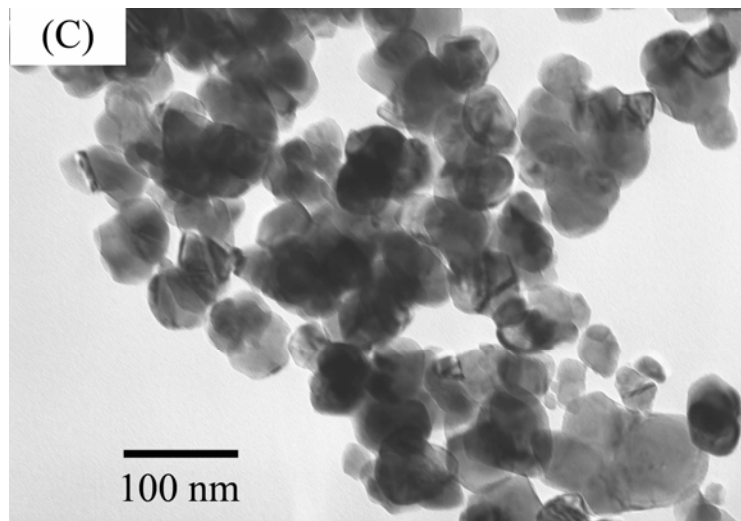


Fig. 2 (C) H. Taguchi et al.

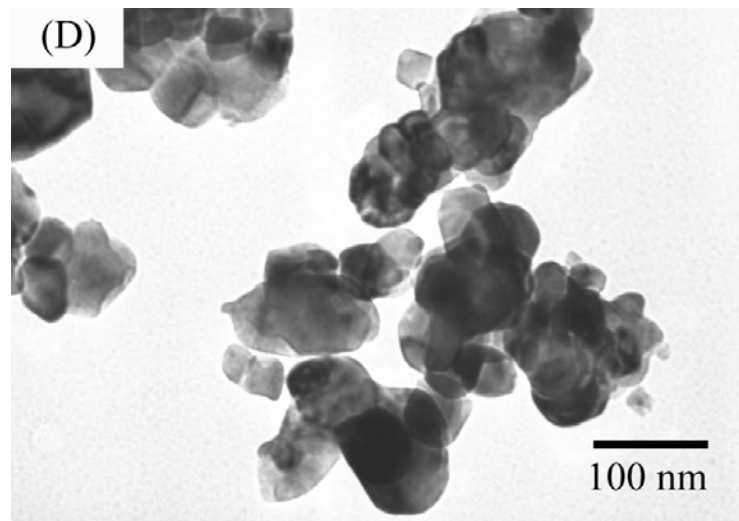


Fig. 2 (D) H. Taguchi et al.

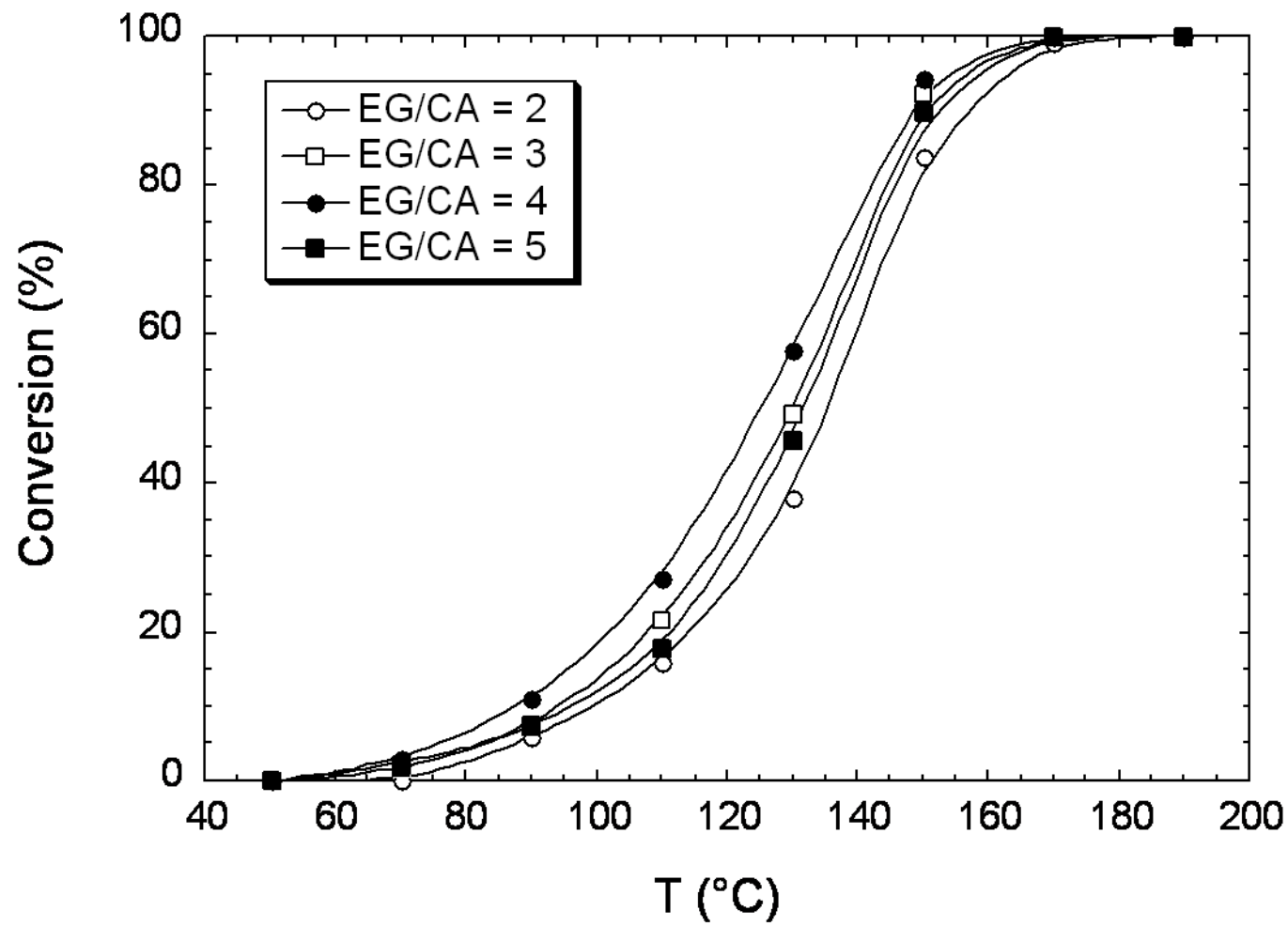


Fig. 3 H. Taguchi et al.